

Экранирование низкочастотного магнитного поля незамкнутой тонкостенной сферической оболочкой

© В.Т. Ерофеев¹, И.С. Козловская¹, Г.Ч. Шушкевич²

¹ Белорусский государственный университет,
220050 Минск, Белоруссия

² Гродненский государственный университет им. Янки Купалы,
230023 Гродно, Белоруссия
e-mail: g_shu@rambler.ru

(Поступило в Редакцию 31 августа 2009 г. В окончательной редакции 12 января 2010 г.)

Решение задачи о проникновении низкочастотного магнитного поля через полупрозрачную незамкнутую сферическую оболочку сведено к решению системы интегральных уравнений Фредгольма второго рода. Численно исследовано влияние угла раствора незамкнутой оболочки, некоторых геометрических параметров экрана и электрофизических свойств материала сферической оболочки на коэффициент ослабления поля внутри сферической оболочки.

Введение

Сегодня актуальна проблема формирования электромагнитной обстановки, обеспечивающей экологическую безопасность и нормальное функционирование различных устройств. Электромагнитная обстановка представляет собой совокупность электромагнитных полей в заданной области пространства, которые могут влиять на функционирование конкретных технических устройств и биологических объектов [1,2]. Для создания благоприятной электромагнитной обстановки производится экранирование электромагнитных полей [3–7].

В работах [3,6,7] предложена методика расчета низкочастотных магнитных полей в случае, когда незамкнутые экраны являются идеально проводящими. В этом случае поле не проникает через стенки экранов. Для экранов с низкой проводимостью материала поле проникает через стенку оболочки. При моделировании таких процессов используются неклассические граничные условия [8].

В настоящей работе показано, что решение поставленной краевой задачи с неклассическими граничными условиями на полупрозрачной незамкнутой сферической оболочке можно свести к решению системы интегральных уравнений Фредгольма второго рода. В ходе вычислительного эксперимента получены значения коэффициента экранирования низкочастотного магнитного поля внутри оболочки.

Постановка задачи

В пространстве R^3 с диэлектрической проницаемостью ϵ_0 и магнитной проницаемостью μ_0 расположена полупрозрачная тонкостенная незамкнутая сферическая оболочка Γ толщиной Δ . Оболочка Γ выполнена из материала с электромагнитными параметрами ϵ , μ , γ : ϵ — диэлектрическая проницаемость, μ — магнитная проницаемость, γ — удельная электрическая проводимость. Оболочка расположена на поверхности сферы Γ_1

радиусом a , круговое отверстие имеет угол раствора θ_0 (рис. 1).

Для решения задачи с точкой O , центром сферы Γ_1 введем сферические координаты $\{r, \theta, \varphi\}$:

$$x = r \cos \varphi \sin \theta, \quad 0 \leq r \leq \infty,$$

$$y = r \sin \varphi \sin \theta, \quad 0 \leq \varphi \leq 2\pi,$$

$$z = r \cos \theta, \quad 0 \leq \theta \leq \pi,$$

тогда идеализированная оболочка Γ описывается следующим образом:

$$\Gamma = \{r = a, \theta_0 < \theta \leq \pi, 0 \leq \varphi \leq 2\pi\}.$$

В пространстве R^3 распространяется первичное низкочастотное магнитное поле с потенциалом u_0 , колеблющееся с круговой частотой ω .

Обозначим через u_1 потенциал магнитного поля внутри сферы Γ_1 и через $u_2 = u_0 + \bar{u}_2$ — потенциал вне сферы.

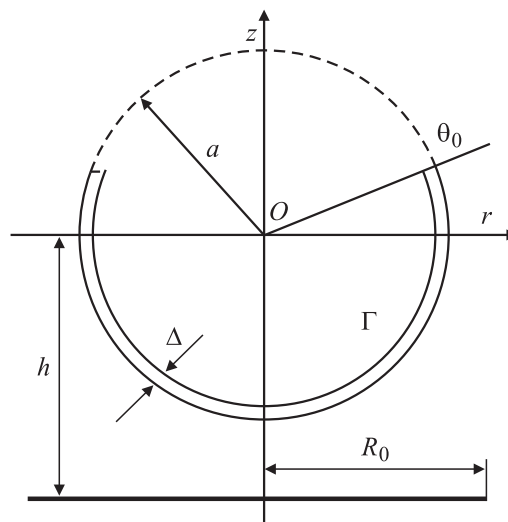


Рис. 1. Осевое сечение экрана.

Для учета краевых эффектов на ребре экрана Γ

$$\gamma_k = \{r = a, \theta = \theta_0, 0 \leq \varphi \leq 2\pi\}$$

введем потенциал источников, распределенных по экрану (см. [12, с. 170]):

$$u^k = \begin{cases} u_1^k = V \sum_{n=0}^{\infty} b_n \left(\frac{r}{a}\right)^n P_n(\cos \theta), & 0 \leq r < a, \\ u_2^k = V \sum_{n=0}^{\infty} b_n \left(\frac{a}{r}\right)^{n+1} P_n(\cos \theta), & r > a, \end{cases}$$

где

$$b_0 = \frac{1}{\pi} (\theta_2 + \sin \theta_2),$$

$$b_n = \frac{(-1)^n}{\pi} \left(\frac{1}{n} \sin n\theta_2 + \frac{1}{n+1} \sin(n+1)\theta_2 \right),$$

$$n \geq 1, \quad \theta_2 = \pi - \theta_0.$$

Для потенциала u^k выполнены условия

$$u_1^k|_{\Gamma} = u_2^k|_{\Gamma} = V, \quad u_1^k|_{\Gamma_1 \setminus \Gamma} = u_2^k|_{\Gamma_1 \setminus \Gamma},$$

$$\left. \frac{\partial u_1^k}{\partial r} \right|_{\Gamma_1 \setminus \Gamma} = \left. \frac{\partial u_2^k}{\partial r} \right|_{\Gamma_1 \setminus \Gamma}, \quad V = \text{const.} \quad (1)$$

Для суммарного магнитного потенциала $u_1^c = u_1 + u_1^k$ внутри сферы Γ_1 и для суммарного потенциала $u_2^c = u_2 + u_2^k$ вне сферы Γ_1 сформулируем краевую задачу экранирования со специальными граничными условиями на поверхности экрана Γ [8]:

$$\Delta u_1 = 0 \quad \text{в} \quad D_1 = \{0 \leq r < a\},$$

$$\Delta u_2 = 0 \quad \text{в} \quad D_2 = \{r > a\}, \quad (2)$$

$$u_1^c|_{\Gamma_1 \setminus \Gamma} = u_2^c|_{\Gamma_1 \setminus \Gamma}, \quad \left. \frac{\partial u_1^c}{\partial \mathbf{n}} \right|_{\Gamma_1 \setminus \Gamma} = \left. \frac{\partial u_2^c}{\partial \mathbf{n}} \right|_{\Gamma_1 \setminus \Gamma}, \quad 0 \leq \theta < \theta_0,$$

$$\left. \frac{\partial (u_2^c - u_1^c)}{\partial \mathbf{n}} \right|_{\Gamma} = -a p F(u_2^c + u_1^c)|_{\Gamma},$$

$$\left. \frac{\partial (u_2^c + u_1^c)}{\partial \mathbf{n}} \right|_{\Gamma} = a q F(u_2^c - u_1^c)|_{\Gamma}, \quad \theta_0 < \theta \leq \pi, \quad (3)$$

где

$$F(u) = (\mathbf{n}, \text{rot}[\mathbf{n}, \text{grad} u]) = \Delta u - \frac{1}{r^2} \frac{\partial}{\partial r} \left(r^2 \frac{\partial u}{\partial r} \right),$$

$$p = \frac{\mu \delta}{2\mu_0 a}, \quad q = \frac{2}{\omega^2 \varepsilon' \mu_0 \delta a}, \quad \delta = \frac{2}{k_{\Gamma}} \text{tg} \frac{k_{\Gamma} \Delta}{2},$$

$$\varepsilon' = \varepsilon + i \frac{\nu}{\omega}, \quad k_{\Gamma} = \omega \sqrt{\varepsilon' \mu}, \quad 0 \leq \arg k_{\Gamma} < \pi,$$

\mathbf{n} — внешний нормальный единичный вектор к поверхности Γ ,

$$r(\bar{u}_2(r, \theta) + u_2^k(r, \theta)) \rightarrow 0 \quad \text{при} \quad r \rightarrow \infty, \quad (4)$$

r — радиальная координата произвольной точки M в пространстве R^3 .

Реальные магнитные потенциалы и магнитные поля определяются формулами

$$U_j = \text{Re}(u_j^c e^{-i\omega t}), \quad \mathbf{H}_j = -\text{grad} U_j,$$

i — мнимая единица, $j = 1, 2$.

Первое и второе граничные условия (3) — условия непрерывности потенциала и поля в отверстии сферической оболочки Γ , третье и четвертое граничные условия (3) моделируют проникновение магнитного поля через тонкостенный сферический экран Γ толщиной Δ .

Так как оператор $F(u) = (\mathbf{n}, \text{rot}[\mathbf{n}, \text{grad} u])$ выражается через касательные производные вдоль поверхности Γ , то из свойств (1) следует условие

$$F(u_1^k)|_{\Gamma} = F(u_2^k)|_{\Gamma} = 0.$$

Учитывая непрерывность потенциала u^k и его производных на множестве $\Gamma_1 \setminus \Gamma$, граничные условия (3) запишем в виде

$$u_1|_{\Gamma_1 \setminus \Gamma} = u_2|_{\Gamma_1 \setminus \Gamma}, \quad \left. \frac{\partial u_1}{\partial \mathbf{n}} \right|_{\Gamma_1 \setminus \Gamma} = \left. \frac{\partial u_2}{\partial \mathbf{n}} \right|_{\Gamma_1 \setminus \Gamma}, \quad (5)$$

$$\left. \frac{\partial (u_2 + u_2^k - u_1 - u_1^k)}{\partial \mathbf{n}} \right|_{\Gamma} = -a p F(u_2 + u_1)|_{\Gamma},$$

$$\left. \frac{\partial (u_2 + u_2^k + u_1 + u_1^k)}{\partial \mathbf{n}} \right|_{\Gamma} = a q F(u_2 - u_1)|_{\Gamma}.$$

В качестве первичного магнитного поля возьмем поле кругового витка l ($\rho = R_0, z = -h, 0 \leq \varphi < 2\pi$) с током I :

$$\mathbf{H}_0(M) = \frac{I}{4\pi} \int_l \frac{[\mathbf{l}_P, R_{PM}]}{R_{PM}^3} dl_P = -\text{grad} u_0(M),$$

где $\mathbf{l}_P = \mathbf{e}_{\varphi}$ — единичный вектор, касательный к контуру l в точке $P \in l$, R_{PM} — расстояние между точками P и M .

Потенциал этого поля в окрестности сферической оболочки равен [9]

$$u_0 = \sum_{n=0}^{\infty} a_n \left(\frac{r}{a}\right)^n P_n(\cos \theta), \quad 0 \leq r < r_0, \quad (6)$$

где

$$a_n = \frac{(-1)^{n+1} I R_0}{2n r_0} \left(\frac{a}{r_0}\right)^n P_n^1(\cos \theta_1), \quad a_0 = \frac{I}{2} (1 - h/r_0),$$

$$r_0 = \sqrt{h^2 + R_0^2}, \quad \cos \theta_1 = h/r_0, \quad h > a,$$

$P_n(x)$ — полиномы Лежандра, $P_n^k(x)$ — присоединенные функции Лежандра первого рода [10,11].

Выполнение граничных условий

Решение краевой задачи (2), (4), (5) будем искать в виде

$$u_1 \in C^2(D_1), \quad \bar{u}_2 \in C^2(D_2).$$

Рассматривая осесимметричную задачу, представим решение задачи в виде рядов по решениям уравнения Лапласа в сферической системе координат так, чтобы выполнялось условие на бесконечности (4):

$$u_1 = \sum_{n=0}^{\infty} x_n \left(\frac{r}{a}\right)^n P_n(\cos \theta), \quad r < a,$$

$$\bar{u}_2 = \sum_{n=0}^{\infty} y_n \left(\frac{a}{r}\right)^{n+1} P_n(\cos \theta), \quad r > a,$$

где x_n, y_n — неизвестные коэффициенты, подлежащие определению из граничных условий.

Подставив выражения для магнитных потенциалов в условия (5), получим следующие системы парных сумматорных уравнений по полиномам Лежандра:

$$\left\{ \begin{array}{l} \sum_{n=0}^{\infty} (x_n - y_n) P_n(\cos \theta) = \sum_{n=0}^{\infty} a_n P_n(\cos \theta), \quad 0 \leq \theta < \theta_0; \\ \sum_{n=0}^{\infty} \{n[1 + (n+1)p]x_n + (n+1)(1+np)y_n\} P_n(\cos \theta) \\ = \sum_{n=0}^{\infty} [n(1 - (n+1)p)a_n - (2n+1)Vb_n] P_n(\cos \theta), \\ \theta_0 < \theta \leq \pi; \end{array} \right. \quad (7)$$

$$\left\{ \begin{array}{l} \sum_{n=0}^{\infty} [nx_n + (n+1)y_n] P_n(\cos \theta) = \sum_{n=0}^{\infty} na_n P_n(\cos \theta), \\ 0 \leq \theta < \theta_0; \\ \sum_{n=0}^{\infty} \{n[1 - (n+1)q]x_n + (n+1)(nq-1)y_n\} P_n(\cos \theta) \\ = \sum_{n=0}^{\infty} \{n[-1 - (n+1)q]a_n + Vb_n\} P_n(\cos \theta), \\ \theta_0 < \theta \leq \pi. \end{array} \right. \quad (8)$$

Для решения парных уравнений (7), (8) введем новые неизвестные коэффициенты $T_n^{(1)}, T_n^{(2)}$, которые связаны с коэффициентами x_n, y_n соотношениями:

$$T_0^{(1)} = y_0 + Vb_0, \quad T_0^{(2)} = -x_0,$$

$$T_n^{(1)} = \{n[1 + (n+1)p]x_n + (n+1)(1+np)y_n - n[1 - (n+1)p]a_n + (2n+1)Vb_n\}/2n+1, \quad n \geq 1,$$

$$T_n^{(2)} = \{n[1 - (n+1)q]x_n + (n+1)(nq-1)y_n + n[1 + (n+1)q]a_n - Vb_n\}/2n+1, \quad n \geq 1. \quad (9)$$

Подставив представления (9) в парные уравнения (7), (8), получим

$$\left\{ \begin{array}{l} \sum_{n=0}^{\infty} G_n^{(1)} T_n^{(1)} P_n(\cos \theta) = \sum_{n=0}^{\infty} (A_n^{(1)} T_n^{(2)} + B_n^{(1)} + VM_n^{(1)}) \\ \times P_n(\cos \theta), \quad 0 \leq \theta < \theta_0, \\ \sum_{n=0}^{\infty} (2n+1) T_n^{(1)} P_n(\cos \theta) = 0, \quad \theta_0 < \theta \leq \pi, \end{array} \right. \quad (10)$$

где

$$G_0^{(1)} = -1, \quad A_0^{(1)} = 1, \quad B_0^{(1)} = a_0, \quad M_0^{(1)} = -b_0,$$

$$G_n^{(1)} = -\frac{2n+1}{\Delta_n}, \quad A_n^{(1)} = -[2n+1+2n(n+1)p]G_n^{(1)},$$

$$B_n^{(1)} = \left(\frac{-n(n+1)(2n+1)(p+q) - n^2[2+2(n+1)^2pq]}{\Delta_n} + 1 \right) a_n,$$

$$M_n^{(1)} = \frac{2n(n+1)}{\Delta_n} pb_n,$$

$$\Delta_n = n(n+1)[(2n+1)(q-p) + 2n(n+1)pq - 2],$$

$$n \geq 1,$$

$$\left\{ \begin{array}{l} \sum_{n=1}^{\infty} G_n^{(2)} T_n^{(2)} P_n(\cos \theta) = \sum_{n=0}^{\infty} (A_n^{(2)} T_n^{(1)} + B_n^{(2)} + VM_n^{(2)}) \\ \times P_n(\cos \theta), \quad 0 \leq \theta < \theta_0, \\ -T_0^{(1)} - T_0^{(2)} + \sum_{n=0}^{\infty} (2n+1) T_n^{(2)} P_n(\cos \theta) = 0, \\ \theta_0 < \theta \leq \pi, \end{array} \right. \quad (11)$$

где

$$G_0^{(2)} = 0, \quad A_0^{(2)} = -1, \quad B_0^{(2)} = 0,$$

$$G_n^{(2)} = \frac{(2n+1)n(n+1)p}{\Delta_n},$$

$$A_n^{(2)} = -n(n+1)[2 - (2n+1)q]G_n^{(1)},$$

$$M_0^{(2)} = b_0,$$

$$M_n^{(2)} = \frac{n(n+1)}{\Delta_n} [(2n+1)^2q - p - 2(2n+1)]b_n,$$

$$B_n^{(2)} = \left\{ \frac{-n^2(n+1)[(2n+1)(p+q) - 2 - 2(n+1)^2pq]}{\Delta_n} + n \right\} a_n, \quad n \geq 1.$$

Коэффициенты $G_n^{(j)}, A_n^{(j)}$ ($j = 1, 2$) представим в виде

$$G_n^{(j)} = \alpha^{(j)} + \beta^{(j)} \frac{1}{2n+1} + \gamma_n^{(j)},$$

$$A_n^{(j)} = k^{(j)} + l^{(j)} \frac{1}{2n+1} + m_n^{(j)},$$

$$\alpha^{(1)} = \beta^{(1)} = \alpha^{(2)} = 0, \quad \beta^{(2)} = \frac{2}{q}, \quad \gamma_0^{(1)} = -1,$$

$$\gamma_0^{(2)} = -\frac{2}{q}, \quad k^{(1)} = 0, \quad k^{(2)} = -\frac{2}{p}, \quad (12)$$

$$l^{(1)} = \frac{4}{q}, \quad l^{(2)} = \frac{4}{p^2}, \quad m_0^{(1)} = 1 - \frac{4}{q},$$

$$m_0^{(2)} = -1 + \frac{2}{p} - \frac{4}{p^2},$$

$$\gamma_n^{(j)} = 0(n^{-2}), \quad m_n^{(j)} = 0(n^{-2}) \quad \text{при } n \rightarrow \infty.$$

Преобразование парных уравнений

Преобразуем системы парных сумматорных уравнений (10), (11) к системе интегральных уравнений Фредгольма второго рода. Для этого введем в рассмотрение новые функции $\varphi_1(t)$, $\varphi_2(t)$, которые связаны с коэффициентами $T_n^{(1)}$ и $T_n^{(2)}$ следующими соотношениями:

$$T_n^{(1)} = \int_0^{\theta_0} \varphi_1(t) \cos(n+0.5)t \, dt, \quad n = 0, 1, 2, \dots,$$

$$T_n^{(2)} = \int_0^{\theta_0} \varphi_2(t) \cos(n+0.5)t \, dt, \quad n = 1, 2, \dots,$$

$$T_0^{(2)} = C + \int_0^{\theta_0} \varphi_2(t) \cos \frac{t}{2} \, dt, \quad (13)$$

где C — постоянная величина.

Из формул (13) получим условие ограниченности

$$|T_n^{(j)}| \leq \int_0^{\theta_0} |\varphi_j(t)| \, dt < C_1 = \text{const}, \quad j = 1, 2.$$

Разрешив систему (9) относительно x_n, y_n и оценив коэффициенты a_n, b_n , получим неравенства

$$|x_n| < C_2/n, \quad |y_n| < C_2/n, \quad n > 1, \quad C_2 = \text{const},$$

из которых следует $u_1 \in C^2(D_1), \bar{u}_2 \in C^2(D_2)$.

Проинтегрируем правую часть $T_n^{(1)}$ по частям

$$T_n^{(1)} = \frac{2}{2n+1} \left[\varphi_1(\theta_0) \sin(n+0.5)\theta_0 - \int_0^{\theta_0} \varphi_1'(t) \sin(n+0.5)t \, dt \right]$$

и подставим полученное представление во второе уравнение (10)

$$2\varphi_1(\theta_0) \sum_{n=0}^{\infty} \sin(n+0.5)\theta_0 P_n(\cos \theta) - 2 \int_0^{\theta_0} \varphi_1'(t) \left[\sum_{n=0}^{\infty} \sin(n+0.5)t P_n(\cos \theta) \right] dt = 0. \quad (14)$$

Так как в уравнении (14) $t \leq \theta_0 < \theta$, то согласно разложению [12,13]

$$\sum_{n=0}^{\infty} \sin(n+0.5)t P_n(\cos \theta) = \begin{cases} 0, & 0 \leq t < \theta < \pi, \\ (2(\cos \theta - \cos t))^{-1/2}, & 0 < \theta < t \leq \pi, \end{cases}$$

суммы рядов равны нулю. Таким образом, второе уравнение (10) выполняется тождественно.

Выполнив аналогичные преобразования для коэффициентов $T_n^{(2)}$ и подставив их во второе уравнение системы (11), получим условие

$$\int_0^{\theta_0} (\varphi_1(t) + \varphi_2(t)) \cos \frac{t}{2} \, dt = 0. \quad (15)$$

В первые уравнения (10), (11) подставим выражения (13) для $T_n^{(1)}$ и $T_n^{(2)}$, учитывая представления (12) для коэффициентов $G_n^{(j)}, A_n^{(j)}$ ($j = 1, 2$) вида

$$G_n^{(j)} = \alpha^{(j)} - \tilde{G}_n^{(j)}, \quad A_n^{(j)} = k^{(j)} - \tilde{A}_n^{(j)} \quad (16)$$

и интегральное представление Мелера–Дирихле для полиномов Лежандра $P_n(\cos \theta)$ [12,13]:

$$P_n(\cos \theta) = \frac{2}{\pi} \int_0^{\theta} \frac{\cos((n+0.5)x) \, dx}{\sqrt{2(\cos x - \cos \theta)}}.$$

В результате эти уравнения примут вид

$$\int_0^{\theta} \left\{ \alpha^{(1)} \varphi_1(x) - k^{(1)} \varphi_2(x) - \int_0^{\theta_0} \varphi_1(t) K_1(x, t) \, dt + \int_0^{\theta_0} \varphi_2(t) K_2(x, t) \, dt \right\} \frac{dx}{\sqrt{2(\cos x - \cos \theta)}} = C + \sum_{n=0}^{\infty} (B_n^{(1)} + VM_n^{(1)}) P_n(\cos \theta), \quad 0 \leq \theta \leq \theta_0,$$

$$\int_0^\theta \left\{ \alpha^{(2)} \varphi_2(x) - k^{(2)} \varphi_{(1)}(x) - \int_0^{\theta_0} \varphi_2(t) K_3(x, t) dt + \int_0^{\theta_0} \varphi_1(t) K_4(x, t) dt \right\} \frac{dx}{\sqrt{2(\cos x - \cos \theta)}} = \sum_{n=0}^{\infty} (B_n^{(2)} + VM_n^{(2)}) P_n(\cos \theta), \quad 0 \leq \theta \leq \theta_0, \quad (17)$$

где

$$K_j(x, t) = \frac{2}{\pi} \sum_{n=0}^{\infty} L_n^{(j)} \cos(n + 0.5)t \cos(n + 0.5)x, \quad (18)$$

$$L_n^{(1)} = \tilde{G}_n^{(1)}, \quad L_n^{(2)} = \tilde{A}_n^{(1)}, \quad L_n^{(3)} = \tilde{G}_n^{(2)}, \quad L_n^{(4)} = \tilde{A}_n^{(2)}.$$

Известно, что функция $\Phi(x)$, удовлетворяющая интегральному уравнению Абеля

$$\int_0^\theta \frac{\Phi(x) dx}{\sqrt{2(\cos x - \cos \theta)}} = f(\theta), \quad 0 \leq \theta < \theta_0,$$

определяется по формуле [12]

$$\Phi(x) = \frac{2}{\pi} \frac{d}{dx} \int_0^x \frac{f(\theta) \sin \theta d\theta}{\sqrt{2(\cos \theta - \cos x)}}, \quad 0 \leq x \leq \theta_0. \quad (19)$$

Рассматривая соотношения (17) как интегральное уравнение Абеля, согласно формуле (19), получим систему интегральных уравнений:

$$\begin{aligned} & \int_0^{\theta_0} \varphi_1(t) K_{11}(x, t) dt + \int_0^{\theta_0} \varphi_2(t) K_{12}(x, t) dt \\ & = f_1(x) + Vg_1(x) + Cf_0(x), \quad 0 \leq x \leq \theta_0, \\ & \varphi_1(x) + \int_0^{\theta_0} \varphi_1(t) K_{21}(x, t) dt + \int_0^{\theta_0} \varphi_2(t) K_{22}(x, t) dt \\ & = f_2(x) + Vg_2(x), \quad 0 \leq x \leq \theta_0, \end{aligned} \quad (20)$$

где

$$\begin{aligned} K_{11}(x, t) &= -K_1(x, t), \quad K_{12}(x, t) = K_2(x, t), \\ K_{21}(x, t) &= -\frac{1}{k^{(2)}} K_4(x, t), \quad K_{22}(x, t) = \frac{1}{k^{(2)}} K_3(x, t); \\ f_0(x) &= \frac{2}{\pi} \cos \frac{x}{2}, \quad f_1(x) = \frac{2}{\pi} \sum_{n=0}^{\infty} B_n^{(1)} \cos(n + 0.5)x, \\ f_2(x) &= \frac{p}{\pi} \sum_{n=0}^{\infty} B_n^{(2)} \cos(n + 0.5)x. \end{aligned}$$

$$g_1(x) = \frac{2}{\pi} \sum_{n=0}^{\infty} M_n^{(1)} \cos(n + 0.5)x,$$

$$g_2(x) = \frac{p}{\pi} \sum_{n=0}^{\infty} M_n^{(2)} \cos(n + 0.5)x.$$

При преобразовании учтено, что имеет место соотношение [11,12]

$$\frac{2}{\pi} \frac{d}{dx} \int_0^x \frac{P_n(\theta) \sin \theta d\theta}{\sqrt{2(\cos \theta - \cos x)}} = \cos(n + 0.5)x.$$

Из формул (12) и (16) получим представление для коэффициентов $\tilde{G}_n^{(j)}$, $\tilde{A}_n^{(j)}$, $n = 1, 2$,

$$\tilde{G}_0^{(1)} = 1, \quad \tilde{G}_0^{(2)} = 0, \quad \tilde{A}_0^{(1)} = -1, \quad \tilde{A}_0^{(2)} = 1 - \frac{2}{p},$$

$$\tilde{G}_n^{(1)} = -\gamma_n^{(1)}, \quad \tilde{G}_n^{(2)} = -\frac{2}{q(2n+1)} - \gamma_n^{(2)},$$

$$\tilde{A}_n^{(1)} = -\frac{4}{q(2n+1)} - m_n^{(1)}, \quad \tilde{A}_n^{(2)} = -\frac{4}{p^2(2n+1)} - m_n^{(2)},$$

$$n = 1, 2, \dots$$

Используя формулы (18) для представления $K_i(x, t)$, получим

$$K_{11}(x, t) = \frac{2}{\pi} \sum_{n=0}^{\infty} \gamma_n^{(1)} C_n(x, t),$$

$$K_{12}(x, t) = -\frac{2}{\pi q} K(x, t) - \frac{2}{\pi} \sum_{n=0}^{\infty} m_n^{(1)} C_n(x, t),$$

$$K_{21}(x, t) = -\frac{1}{\pi p} K(x, t) - \frac{p}{\pi} \sum_{n=0}^{\infty} m_n^{(2)} C_n(x, t),$$

$$K_{22}(x, t) = \frac{p}{2\pi q} K(x, t) + \frac{p}{\pi} \sum_{n=0}^{\infty} \gamma_n^{(2)} C_n(x, t),$$

где

$$C_n(x, t) = \cos(n + 1/2)t \cos(n + 1/2)x,$$

$$K(x, t) = \ln \operatorname{ctg} \left(\frac{x+t}{4} \right) + \ln \operatorname{ctg} \left(\frac{|x-t|}{4} \right) = 4 \sum_{n=0}^{\infty} \frac{C_n(x, t)}{2n+1}.$$

Решение φ_1, φ_2 системы (20) запишем в операторном виде

$$L \begin{pmatrix} \varphi_1 \\ \varphi_2 \end{pmatrix} = \begin{pmatrix} f_1 + Vg_1 + Cf_0 \\ f_2 + Vg_2 \end{pmatrix}. \quad (21)$$

Рассмотрим следующие системы уравнений:

$$\begin{aligned} L \begin{pmatrix} \varphi_1^0 \\ \varphi_2^0 \end{pmatrix} &= \begin{pmatrix} f_1 \\ f_2 \end{pmatrix}, \quad L \begin{pmatrix} \varphi_1^* \\ \varphi_2^* \end{pmatrix} = \begin{pmatrix} f_0 \\ 0 \end{pmatrix}, \\ L \begin{pmatrix} \bar{\varphi}_1 \\ \bar{\varphi}_2 \end{pmatrix} &= \begin{pmatrix} g_1 \\ g_2 \end{pmatrix}. \end{aligned} \quad (22)$$

В результате получим, что $\varphi_1 = \varphi_1^0 + C\varphi_1^* + V\bar{\varphi}_1$, $\varphi_2 = \varphi_2^0 + C\varphi_2^* + V\bar{\varphi}_2$ — решение системы (21).

Заметим, что условие (4) для потенциала $\bar{u}_2 + u_2^k$ выполнено, если $y_0 + Vb_0 = 0$, либо, согласно (9),

$$T_0^{(1)} = \int_0^{\theta_0} \varphi_1(t) \cos \frac{t}{2} dt = 0. \quad (23)$$

Для выполнения условия (15) потребуем выполнения условия

$$\int_0^{\theta_0} \varphi_2(t) \cos \frac{t}{2} dt = 0. \quad (24)$$

Предполагая, что решения системы уравнений (22) существуют, из соотношений (23), (24) получим систему алгебраических уравнений для определения постоянных C и V :

$$\begin{cases} C \int_0^{\theta_0} \varphi_1^*(t) \cos \frac{t}{2} dt + V \int_0^{\theta_0} \bar{\varphi}_1(t) \cos \frac{t}{2} dt = - \int_0^{\theta_0} \varphi_1^0(t) \cos \frac{t}{2} dt, \\ C \int_0^{\theta_0} \varphi_2^*(t) \cos \frac{t}{2} dt + V \int_0^{\theta_0} \bar{\varphi}_2(t) \cos \frac{t}{2} dt = - \int_0^{\theta_0} \varphi_2^0(t) \cos \frac{t}{2} dt. \end{cases} \quad (25)$$

Определив C и V из (25), вычислим суммарный магнитный потенциал внутри оболочки Γ по формуле

$$u_1^c = \sum_{n=0}^{\infty} X_n \left(\frac{r}{a}\right)^n P_n(\cos \theta), \quad X_n = x_n + Vb_n. \quad (26)$$

Из (9), с учетом (13), следует, что коэффициенты x_n связаны с решением системы (21) формулой

$$\begin{aligned} x_n = & \frac{(n+1)(2n+1)}{\Delta_n} \left[(nq-1) \int_0^{\theta_0} \varphi_1(t) \cos(n+0.5)t dt \right. \\ & \left. - (1+np) \int_0^{\theta_0} \varphi_2(t) \cos(n+0.5)t dt \right] + \frac{n(n+1)(2n+1)}{\Delta_n} \\ & \times (p+q)a_n - \frac{(n+1)}{\Delta_n} [2n^2q + n(p+q) - 2n] Vb_n. \end{aligned}$$

Вычислительный эксперимент

Изменение напряженности магнитного поля в произвольной точке M_0 области D_1 в течение периода $T = 2\pi/\omega$ определяется по формуле

$$\begin{aligned} \mathbf{H}_1(M_0, \bar{t}) = & -\frac{1}{a} \sum_{n=1}^{\infty} \operatorname{Re}(X_n \exp(-2\pi i \bar{t})) \left(\frac{r}{a}\right)^{n-1} \\ & \times (nP_n(\cos \theta) \mathbf{e}_r + P_n^1(\cos \theta) \mathbf{e}_\theta), \end{aligned}$$

где $0 \leq \bar{t} \leq 1$, $\bar{t} = t/T$ — безразмерное время.

Если точка M_0 находится на оси Oz , то $|z| < a$, $\theta = 0$ ($\cos \theta = 1$, $P_n(1) = 1$) или $\theta = \pi$ ($\cos \theta = -1$, $P_n(-1) = (-1)^n$), то в этом случае

$$\mathbf{H}_1(M_0, \bar{t}) = \begin{cases} \mathbf{H}_1^{(+)}(M_0, \bar{t}), & \text{если } 0 \leq z < a, \theta = 0, \\ \mathbf{H}_1^{(-)}(M_0, \bar{t}), & \text{если } -a < z \leq 0, \theta = \pi, \end{cases}$$

где

$$\mathbf{H}_1^{(+)}(M_0, \bar{t}) = -\frac{1}{a} \sum_{n=1}^{\infty} n \operatorname{Re}(X_n \exp(-2\pi i \bar{t})) \left(\frac{r}{a}\right)^{n-1} \mathbf{e}_r,$$

$$\begin{aligned} \mathbf{H}_1^{(-)}(M_0, \bar{t}) = & -\frac{1}{a} \sum_{n=1}^{\infty} (-1)^n n \operatorname{Re}(X_n \exp(-2\pi i \bar{t})) \\ & \times \left(\frac{r}{a}\right)^{n-1} \mathbf{e}_r, \quad r = |z|. \end{aligned}$$

Коэффициенты экранирования (ослабления) поля в точке M_0 , расположенной на оси Oz в области D_1 , вычисляем по формуле

$$K^{(\pm)}(M_0, \bar{t}) = \frac{|\mathbf{H}_1^{(\pm)}(M_0, \bar{t})|}{|\mathbf{H}_0(M_0, \bar{t})|}, \quad (27)$$

где

$$\mathbf{H}_0(M_0, \bar{t}) = -\frac{1}{a} \sum_{n=1}^{\infty} a_n n \cos(2\pi \bar{t}) \left(\frac{r}{a}\right)^{n-1} P_n(\cos \theta) \mathbf{e}_r,$$

$$0 \leq r < a.$$

Для численного решения систем интегральных уравнений (22) использовался метод коллокации. Разбиваем отрезок $[0, \theta_0]$ на N частичных отрезков $[\theta_0^0, \theta_0^1], [\theta_0^1, \theta_0^2], \dots, [\theta_0^{N-1}, \theta_0^N]$ длиной $h = \theta_0/N$, $\theta_0^i = ih$, $i = 0, 1, \dots, N$. Приближенное решение, например, первой системы (22) ищем в виде линейной комбинации

$$\varphi_1^0(t) = \sum_{n=1}^N C_n \psi_n(t), \quad \varphi_2^0(t) = \sum_{n=1}^N D_n \psi_n(t),$$

где $\psi_n(t)$ — базисные функции.

В качестве базисных функций выбираем систему функций Хаара [14], а в качестве точек коллокации — точки $x_m = (\theta_0^{m-1} + \theta_0^m)/2$ — середины частичных отрезков. В результате получаем систему линейных алгебраических уравнений для определения коэффициентов C_n, D_n :

$$\begin{cases} \sum_{n=1}^N [C_n A_{nm}^{11} + D_n A_{nm}^{12}] = f_m^1, \\ \sum_{n=1}^N [C_n A_{nm}^{21} + D_n A_{nm}^{22}] = f_m^2, \quad m = 1, \dots, N, \end{cases} \quad (28)$$

где $f_m^i = f_i(x_m)$,

$$A_{nm}^{ij} = \begin{cases} \delta_{nm} + \int_{\theta_0^{n-1}}^{\theta_0^n} K_{ij}(x_m, t) dt, & i = 2, j = 1, \\ \int_{\theta_0^{n-1}}^{\theta_0^n} K_{ij}(x_m, t) dt & \text{для остальных индексов.} \end{cases}$$

Кроме того, для получения достоверного решения системы линейных алгебраических уравнений (28) необходимо проверить обусловленность системы. Матрица, соответствующая системе, считается хорошо обусловленной, если число обусловленности матрицы более или равно единице [15].

Проведен вычислительный эксперимент. Число обусловленности системы линейных алгебраических уравнений в L_1, L_2 [16] для рассмотренных параметров задачи не превышало 80. При выполнении расчетов бесконечные суммы, входящие в представление интегральных уравнений (22), вычислялись с точностью 10^{-5} , шаг $h = 0.05$.

В ходе вычислений были получены значения коэффициента экранирования $K^{(+)}(M_0, 0)$ для некоторых углов раствора θ_0 незамкнутой полупрозрачной сферической оболочки Γ и следующих параметров:

$$a = 1 \text{ м}; R_0 = 0.5 \text{ м}; h = 1.3 \text{ м}; \Delta = 0.01 \text{ м};$$

$$f = 1000 \text{ Гц}; \varepsilon = \varepsilon_0 = 8.85 \cdot 10^{-12} \text{ Ф/м}; \gamma = 10^5 \text{ См/м};$$

$$\mu = 100 \mu_0; \mu_0 = 4\pi \cdot 10^{-7} \text{ Нп/м}.$$

На рис. 2 сплошными кривыми представлены графики $K^{(+)}(M_0, 0)$, $0 < r/a < 1$, для углов раствора: 1 — $\theta_0 = \pi/4$, 2 — $\theta_0 = \pi/2$, 3 — $\theta_0 = 2\pi/3$. Пунктиром изображены графики $K^{(+)}(M_0, 0)$ для идеально проводящей оболочки Γ при тех же значениях угла раствора θ_0 : 4 — $\theta_0 = \pi/4$, 5 — $\theta_0 = \pi/2$, 6 — $\theta_0 = 2\pi/3$.

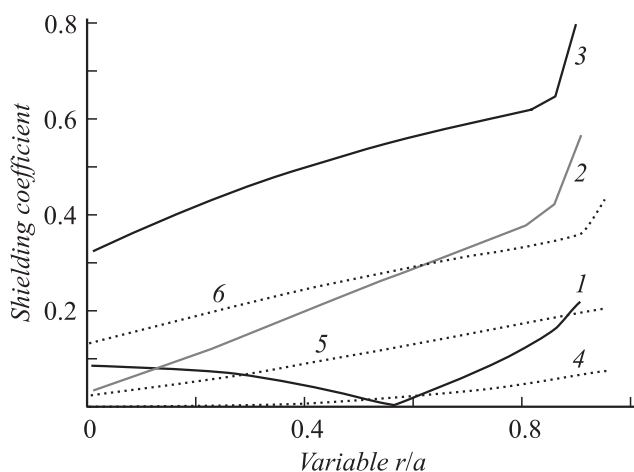


Рис. 2. Зависимости коэффициентов экранирования $K^{(+)}(M_0, 0)$ от r/a для незамкнутой полупрозрачной сферической оболочки (кривые 1–3) для углов раствора θ_0 : 1, 4 — $\pi/4$; 2, 5 — $\pi/2$; 3, 6 — $2\pi/3$. Кривые 4–6 — для идеально проводящей оболочки.

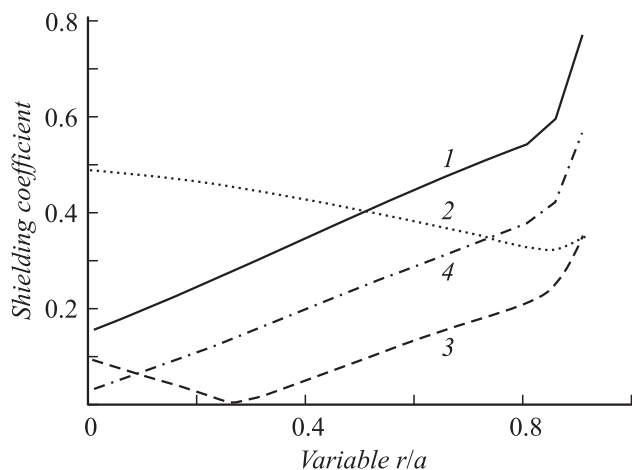


Рис. 3. Зависимости коэффициентов экранирования $K^{(+)}(M_0, \bar{t})$ от r/a при угле раствора $\theta_0 = \pi/2$. Значения $\bar{t} = t/T$: 1 — 0.1, 2 — 0.3, 3 — 0.4, 4 — 0.5.

На рис. 3 представлены графики $K^{(+)}(M_0, \bar{t})$, $0 < r/a < 1$, для угла раствора $\theta_0 = \pi/2$ и различных значений \bar{t} .

Заключение

Предложена методика решения задачи экранирования низкочастотного магнитного поля незамкнутым полупрозрачным сферическим экраном. Из вычислительного эксперимента следует, что полупрозрачная незамкнутая сферическая оболочка ухудшает экранирующие свойства по сравнению с идеально проводящей оболочкой.

Список литературы

- [1] Павлов А.Н. Воздействие электромагнитных излучений на жизнедеятельность. М.: Гелиос АРВ, 2002. 224 с.
- [2] Аполлонский С.М. Внешние электромагнитные поля электрооборудования и средства их снижения. СПб.: Безопасность, 2001. 620 с.
- [3] Apollonskii S.M., Erofeenko V.T., Shushkevich G.Ch. // Proc. of St. Petersburg IEEE Chapters. 2003. P. 68–72.
- [4] Аполлонский С.М., Ерофеевко В.Т. Электромагнитные поля в экранирующих оболочках. Минск: БГУ, 1988. 246 с.
- [5] Canova A., Gruosso G., Repetto M. // The Int. J. for Computation and Mathematics in Electrical and Electronic Eng. 2004. N 1. P. 173–186.
- [6] Ерофеевко В.Т., Шушкевич Г.Ч. // Электромагнитные волны и электронные системы. 2002. Т. 7. № 9. С. 40–48.
- [7] Ерофеевко В.Т., Шушкевич Г.Ч. // ЖТФ. 2003. Т. 73. Вып. 3. С. 10–15.
- [8] Аполлонский С.М., Ерофеевко В.Т. Эквивалентные граничные условия в электродинамике. СПб.: Безопасность, 1999. 415 с.
- [9] Ерофеевко В.Т., Козловская И.С. Основы математического моделирования. Минск: БГУ, 2002. 196 с.

- [10] *Справочник по специальным функциям с формулами, графиками и математическими таблицами* / Под ред. М. Абрамовица, И. Стиган. М.: Наука, 1979. 840 с.
- [11] *Лебедев Н.Н.* Специальные функции и их приложения. М.–Л.: ГИТТЛ, 1953. 380 с.
- [12] *Уфлянд Я.С.* Метод парных уравнений в задачах математической физики. М.: Наука, 1977. 220 с.
- [13] *Шушкевич Г.Ч.* Расчет электростатических полей методом парных, тройных уравнений с использованием теорем сложения. Гродно: ГрГУ, 1999. 238 с.
- [14] *Дмитриев В.И., Захаров Е.В.* Интегральные уравнения в краевых задачах электродинамики. М.: МГУ, 1987. 168 с.
- [15] *Каханер Д., Моулер К., Нэш С.* Численные методы и программное обеспечение. М.: Мир, 1998. 576 с.
- [16] *Бержбицкий В.М.* Основы численных методов. М.: Высш. школа, 2002. 848 с.